

## РАСЧЕТ НАПРЯЖЕННО-ДЕФОРМИРОВАННОГО СОСТОЯНИЯ ЗАГОТОВКИ ПРИ ВЫТЯЖКЕ С УТОНЕНИЕМ СТЕНКИ ЧЕРЕЗ МАТРИЦУ С МАЛЫМ УГЛОМ КОНУСНОСТИ

П.М. Винник

Е.Ю. Ремшев

Е.В. Затеруха

Д.С. Филин

sigure@rambler.ru

remshev@mail.ru

bgtu\_e4@mail.ru

bgtu\_e4@mail.ru

БГТУ «ВОЕНМЕХ» им. Д.Ф. Устинова, Санкт-Петербург, Российская Федерация

### Аннотация

Выполнен расчет напряженно-деформированного состояния заготовки при вытяжке с утонением стенки через матрицу с малым углом конусности. Технологический процесс гильзы обычно состоит из нескольких вытяжных операций, причем финишную вытяжку рекомендуется проводить с небольшой степенью деформации и применением матриц с небольшим углом конусности. Приведена схема вытяжки с утонением и выделением всех стадий деформирования, зафиксированных на диаграмме сила—путь инструмента. Выполнен расчет напряженно-деформированного состояния и степени деформации стенки заготовки на финишной вытяжке с утонением стенки через матрицу с малым углом конусности  $\alpha \leq 4^\circ$ . Приведены уравнения равновесия для тороидальных координат, вычислены напряженно-деформированное состояние и степень деформации в случае осесимметричности задачи. При отказе от предположения считать деформированное состояние плоским, вычислены напряженно-деформированное состояние и степень деформации стенки изделия при вытяжке с утонением стенки через матрицу с малым углом конусности  $\alpha = 2^\circ \dots 4^\circ$ . Показано, что при малом угле конусности процесс вытяжки с утонением стенки на стадии, соответствующей формированию стенки полуфабриката, можно обоснованно считать монотонным

### Ключевые слова

*Вытяжка с утонением стенки, напряженно-деформированное состояние, степень деформации, матрица с малым углом конусности, монотонный процесс*

Поступила 10.05.2018

© Автор(ы), 2019

В области обработки металлов давлением процессы глубокой вытяжки занимают значительное место. В патронно-гильзовом производстве одной из основных операций, формирующей требуемые размеры и механические характеристики корпуса гильзы, является вытяжка с утонением стенки. Технологический процесс обычно включает в себя несколько вытяжных операций, причем финишную (заключительную) вытяжку выполняют с небольшой степенью деформации, используя матрицы с небольшим углом конусности  $\alpha = 2^\circ \dots 4^\circ$ .

Схема вытяжки с утонением с выделением всех стадий деформирования, зафиксированных на диаграмме сила—путь инструмента, приведена на рис. 1 [1].

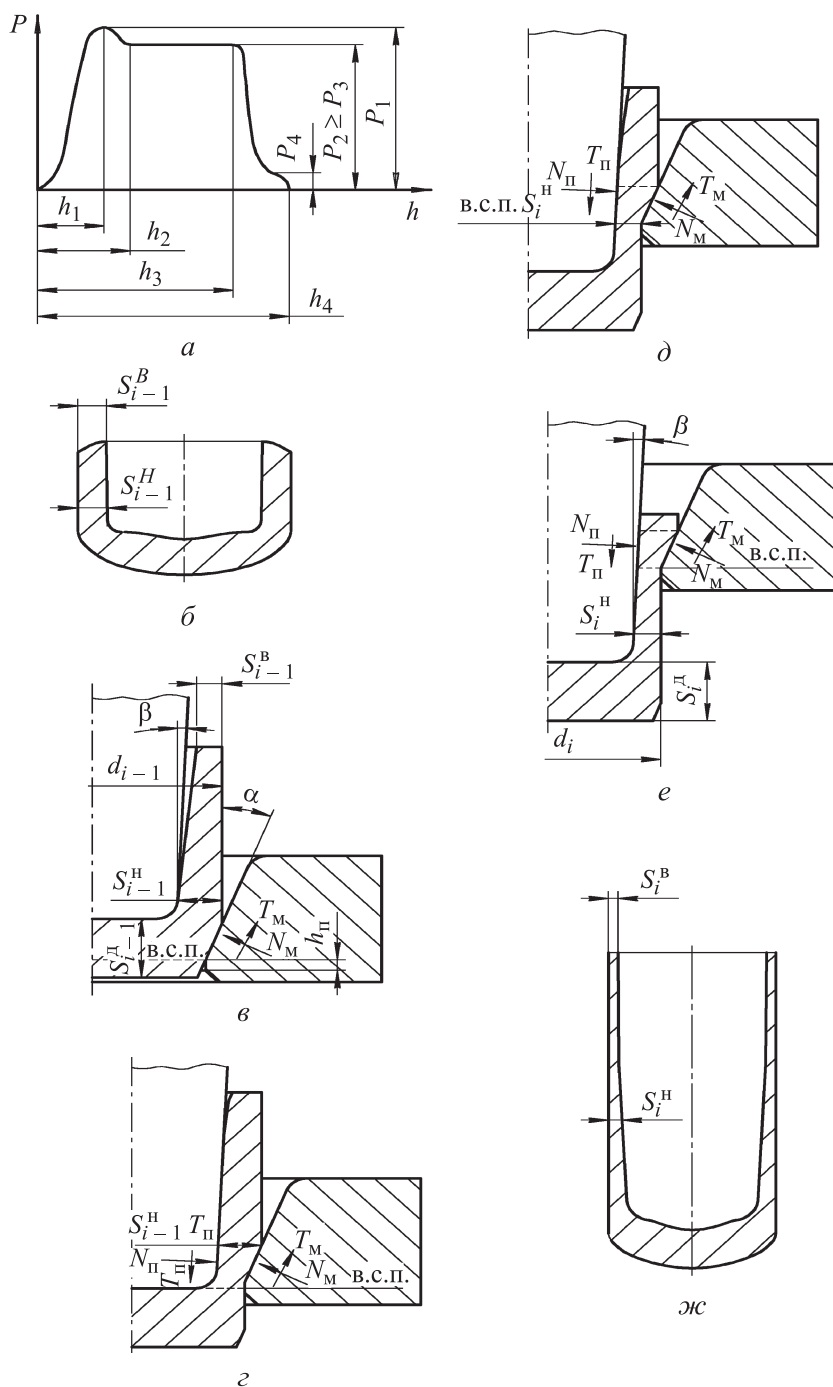
В работе [2] при ряде допущений (в том числе о плоском характере задачи) вычислено напряженно-деформированное состояние (НДС) стенки заготовки при вытяжке с утонением. Выражение для интенсивности скорости деформаций представляет собой произведение двух функций, зависящих только от одной переменной, и имеет сравнительно простой вид.

В том случае, если выражение для интенсивности скорости деформаций не имеет простого вида, построение аналитического решения системы уравнений равновесия является очень трудным.

Принятое в [2] предположение о плоском характере задачи является достаточно ограничительным для патронно-гильзового производства, поскольку отношение толщины стенки полуфабриката гильзы к его диаметру достаточно велико, поэтому нужно отнести гильзу к толстостенным заготовкам. Невозможно также применение полученного решения для расчета НДС и оценки степени деформации толстостенных заготовок при вытяжке с утонением. Заготовки для вытяжки с утонением разделяют на заготовки тонкостенные ( $S_{i-1}/d_{i-1} \cdot 100 \leq 5$ ) и толстостенные ( $S_{i-1}/d_{i-1} \cdot 100 > 5$ ).

В настоящей работе выполнен расчет НДС и степени деформации стенки заготовки на финишной вытяжке с утонением стенки через матрицу с малым углом конусности  $\alpha \leq 4^\circ$ .

Анализ результатов экспериментальных исследований процессов вытяжки с утонением свидетельствует о значительной сложности определения НДС на стадии, соответствующей формированию стенки, что связано с трудностью применения известных методов делительной сетки и твердости при весьма малых размерах очага пластической деформации (ОПД) [3].



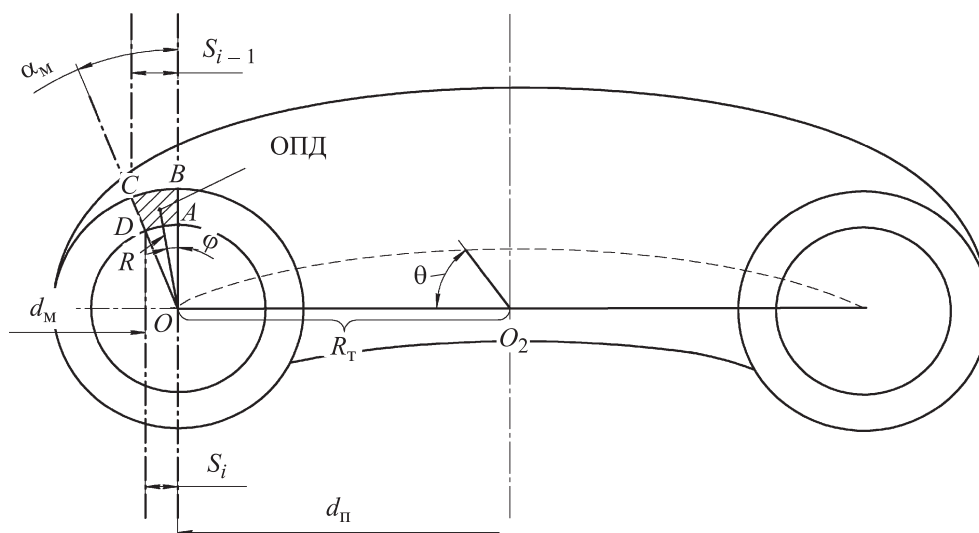
**Рис. 1.** Технологическая схема процесса вытяжки с утонением через одну матрицу:

*a* — диаграмма сила—путь инструмента  $P-h$ ; *б* — заготовка до вытяжки; *в, г, д, е* — схемы формоизменения деформируемой заготовки на различных стадиях процесса; *ж* — заготовка после вытяжки

**Тороидальные координаты.** В работе [2] предполагается, что ОПД имеет форму кольца (рис. 2), образованного вращением плоского кольцевого сектора  $ABCD$ . Для ОПД такой формы естественно применение тороидальных координат:

$$\begin{aligned} x &= (R_T + R \cos \varphi) \cos \theta; \\ y &= (R_T + R \cos \varphi) \sin \theta; \\ z &= R \sin \varphi, \end{aligned} \tag{1}$$

где  $R_T$  — радиус тора, т. е. внутренний радиус заготовки. Обозначим  $a = OD = OA$ ,  $b = OC = OB$ .



**Рис. 2.** Тороидальная система координат. Очаг пластической деформации — тороидальное кольцо с сечением  $ABCD$

Для таких координат параметры Ляме [4, с. 160] имеют вид  $H_R = 1$ ,  $H_\varphi = R$ ,  $H_\theta = R_T + R \cos \varphi$ .

Скорости деформации в общем случае тороидальных координат следующие:

$$\begin{aligned} \xi_R &= \frac{\partial v_R}{\partial R}; \quad \xi_\varphi = \frac{1}{R} \left( \frac{\partial v_\varphi}{\partial \varphi} + v_R \right); \\ \xi_\theta &= \frac{1}{R_T + R \cos \varphi} \left( v_R \cos \varphi - v_\varphi \sin \varphi + \frac{\partial v_\theta}{\partial \theta} \right); \\ \eta_{R\varphi} &= \frac{\partial v_\varphi}{\partial R} - \frac{1}{R} v_\varphi + \frac{1}{R} \frac{\partial v_R}{\partial \varphi}; \end{aligned} \tag{2}$$

$$\begin{aligned}\eta_{R\theta} &= \frac{1}{R_T + R \cos \varphi} \frac{\partial v_R}{\partial \theta} + \frac{\partial v_\theta}{\partial R} - \frac{\cos \varphi}{R_T + R \cos \varphi} v_\theta; \\ \eta_{\varphi\theta} &= \frac{1}{R} \frac{\partial v_\theta}{\partial \varphi} + \frac{1}{R_T + R \cos \varphi} \frac{\partial v_\varphi}{\partial \theta} + \frac{v_\theta \sin \varphi}{R_T + R \cos \varphi}.\end{aligned}\quad (2)$$

Уравнения равновесия для тороидальных координат приобретают вид:

$$\begin{aligned}(R_T + 2R \cos \varphi) \sigma_R + (R_T + R \cos \varphi) R \frac{\partial \sigma_R}{\partial R} - r \sin \varphi \tau_{R\varphi} + \\ + (R_T + R \cos \varphi) \frac{\partial \tau_{R\varphi}}{\partial \varphi} + R \frac{\partial \tau_{R\theta}}{\partial \theta} - (R_T + R \cos \varphi) \sigma_\varphi - R \cos \varphi \sigma_\theta = 0; \\ (2R_T + 3R \cos \varphi) \tau_{R\varphi} + R (R_T + R \cos \varphi) \frac{\partial \tau_{R\varphi}}{\partial R} + \\ + (R_T + R \cos \varphi) \frac{\partial \sigma_\varphi}{\partial \varphi} + R \frac{\partial \tau_{\varphi\theta}}{\partial \theta} - r \sin \varphi (\sigma_\varphi - \sigma_\theta) = 0; \\ (R_T + 3R \cos \varphi) \tau_{R\theta} + R (R_T + R \cos \varphi) \frac{\partial \tau_{R\theta}}{\partial R} + \\ + (R_T + R \cos \varphi) \frac{\partial \tau_{\varphi\theta}}{\partial \varphi} + R \frac{\partial \sigma_\theta}{\partial \theta} - 2R \sin \varphi \tau_{\varphi\theta} = 0.\end{aligned}\quad (3)$$

Очевидно, что принятие предположения, что  $R_T$  достаточно велик, привело бы к равенству  $\xi_\theta \approx 0$ , как в [2], и вместе с предположением  $v_\theta = 0$ , тоже сделанным в [2], — к плоской задаче.

В случае малого угла конусности  $\alpha$  при рассматриваемых значениях угла  $\alpha = 2^\circ \dots 4^\circ$  можно принять  $\cos \varphi \approx 1$  (ошибка для угла  $4^\circ$  составляет  $\sim 0,0025$ ) и  $\sin \varphi \approx 0$  (ошибка для угла  $4^\circ$  составляет  $\sim 0,07$ ). Итак, будем считать, что  $H_\theta = R_T + R$ .

**Вычисление НДС и степени деформации в случае осесимметричной задачи.** Учитывая малую угловую величину ОПД (а потому можно пренебречь зависимостями искомых величин от угла  $\varphi$ ), полагаем, что

$$v_R = v_R(R), v_\varphi = 0, v_\theta = 0.$$

Для скоростей деформации из (2) имеем

$$\xi_R = \frac{dv_R}{dR}; \quad \xi_\varphi = \frac{v_R}{R}; \quad \xi_\theta = \frac{v_R}{R_T + R}; \quad \eta_{R\varphi} = \eta_{R\theta} = \eta_{\varphi\theta} = 0.\quad (4)$$

Записывая условие несжимаемости  $\xi_R + \xi_\varphi + \xi_\theta = 0$ , получаем

$$\frac{dv_R}{dR} + \frac{v_R}{R} + \frac{v_R}{R_T + R} = 0,$$

откуда  $v_R = \frac{C_1}{R(R_T + R)}$ , где  $C_1 < 0$ , так как при движении точки через

ОПД ее радиальная координата уменьшается. Константу  $C_1$  найдем из условия равенства в момент выхода точки из ОПД ее скорости  $v_R$  и скорости движения пуансона  $v_0$ :

$$\frac{C_1}{a(R_T + a)} = -v_0, \quad C_1 = -v_0 a (R_T + a).$$

Скорости деформации и интенсивность скоростей деформации имеют вид

$$\xi_R = -C_1 \left( \frac{1}{R^2 (R_T + R)} + \frac{1}{R (R_T + R)^2} \right); \quad \xi_\varphi = \frac{C_1}{R^2 (R_T + R)};$$

$$\xi_\theta = \frac{C_1}{R (R_T + R)^2}; \quad \xi_i = \frac{2\sqrt{3} |C_1| \sqrt{R_T^2 + 3RR_T + 3R^2}}{3 R^2 (R_T + R)^2}.$$

По соотношениям теории течения (так как  $C_1 < 0$ , то  $\text{sgn}(C_1) = -1$ )

$$\sigma_R = \sigma_0 + \frac{\sigma_T}{\sqrt{3}} \frac{(R_T + 2R)}{\sqrt{R_T^2 + 3RR_T + 3R^2}}; \quad \sigma_\varphi = \sigma_0 - \frac{\sigma_T}{\sqrt{3}} \frac{(R_T + R)}{\sqrt{R_T^2 + 3RR_T + 3R^2}};$$

$$\sigma_\theta = \sigma_0 - \frac{\sigma_T}{\sqrt{3}} \frac{R}{\sqrt{R_T^2 + 3RR_T + 3R^2}}; \quad \tau_{R\varphi} = \tau_{R\theta} = \tau_{\varphi\theta} = 0,$$

где  $\sigma_0 = \sigma_0(R)$  — гидростатическое давление;  $\sigma_T$  — предел текучести.

Второе и третье уравнения равновесия из (3) превращаются в тождественные равенства. Из первого уравнения равновесия находим

$$\sigma_0 = -\frac{\sigma_T \sqrt{3}}{6} \int \frac{(4R_T^2 + 9R_T R + 9R^2)(R_T + 2R)^2}{R(R_T + R)(R_T^2 + 3R_T R + 3R^2)\sqrt{R_T^2 + 3R_T R + 3R^2}} dR.$$

Уравнение для поиска степени деформации  $e_i$  по А.А. Ильющину [5, с. 51, формула 1.51] в рассматриваемом случае имеет вид

$$\frac{\partial e_i}{\partial t} + \frac{\partial e_i}{\partial R} v_R = \xi_i, \quad \frac{\partial e_i}{\partial t} + \frac{\partial e_i}{\partial R} \frac{C_1}{R(R_T + R)} = \frac{2\sqrt{3} |C_1| \sqrt{R_T^2 + 3RR_T + 3R^2}}{3 R^2 (R_T + R)^2}. \quad (5)$$

Выполним в (5) замену переменных, перейдя от функции  $e_i(t, R)$  к функции  $e_{i1}(\omega, \rho)$ , где старые и новые переменные связаны соотношениями:

$$e_{i1}(\omega, \rho) = e_i(t, R), \quad \rho = R, \quad \omega = t - \frac{1}{C_1} \left( R_T \frac{R^2}{2} + \frac{R^3}{3} \right).$$

Для производных функции  $e_i(t, R)$  получаем

$$\frac{\partial e_i}{\partial t} = \frac{\partial e_{i1}}{\partial \omega}, \quad \frac{\partial e_i}{\partial R} = \frac{\partial e_{i1}}{\partial \rho} + \frac{\partial e_{i1}}{\partial \omega} \left( -\frac{1}{C_1} \right) (R_T R + R^2).$$

Подставляя их в (5), после приведения подобных слагаемых и деления на  $\frac{C_1}{R(R_T + R)}$ , имеем  $\frac{\partial e_{i1}}{\partial \rho} = -\frac{2\sqrt{3}}{3} \frac{\sqrt{R_T^2 + 3\rho R_T + 3\rho^2}}{\rho(R_T + \rho)}$ .

Откуда, интегрируя по  $\rho$ , получаем

$$e_{i1} = -\int_b^\rho \frac{2\sqrt{3}}{3} \frac{\sqrt{R_T^2 + 3\rho R_T + 3\rho^2}}{\rho(R_T + \rho)} d\rho + F(\omega),$$

где  $F(\cdot)$  — произвольная функция одной переменной. Учитывая сделанную замену, находим общее решение уравнения (3):

$$e_i(t, R) = -\int_b^R \frac{2\sqrt{3}}{3} \frac{\sqrt{R_T^2 + 3RR_T + 3R^2}}{R(R_T + R)} dR + F \left( t - \frac{1}{C_1} \left( R_T \frac{R^2}{2} + \frac{R^3}{3} \right) \right).$$

При движении материальной точки по траектории в ОПД значения переменной  $t$  однозначно определяются значениями переменной  $R$ . Вычислим время, необходимое на прохождение участка траектории от входа до некоторого места. Время, необходимое на прохождение материальной точкой участка траектории — радиуса от  $R$  до  $R + \Delta R$  ( $\Delta R < 0$ , так как  $R$  уменьшается):

$$\Delta t = \frac{-\Delta R}{-v_R} = \frac{R(R_T + R)\Delta R}{C_1}.$$

Тогда время, необходимое для прохождения материальной точкой участка траектории — радиуса от  $b$  до  $R$  (моменту времени  $t = 0$  соответствует момент входа в ОПД):

$$t = \int_b^R \frac{R(R_T + R)\Delta R}{C_1} dR = \frac{1}{C_1} \left( R_T \frac{R^2}{2} + \frac{R^3}{3} \right) - \frac{1}{C_1} \left( R_T \frac{b^2}{2} + \frac{b^3}{3} \right). \quad (6)$$

Пусть  $e_{i0}$  — степень деформации, ранее приобретенная материальной точкой, входящей в ОПД.

Тогда  $e_i(t, R)|_{R=b}^{t=0} = e_{i0}$ , т. е.

$$e_{i0} = -\int_b^R \frac{2\sqrt{3}}{3} \frac{\sqrt{R_T^2 + 3RR_T + 3R^2}}{R(R_T + R)} dR + F\left(-\frac{1}{C_1} \left(R_T \frac{b^2}{2} + \frac{b^3}{3}\right)\right),$$

откуда

$$e_{i0} = F\left(-\frac{1}{C_1} \left(R_T \frac{b^2}{2} + \frac{b^3}{3}\right)\right).$$

Отметим, что при движении материальной точки по траектории — радиусу — все время выполняется соотношение (6). Следовательно, для произвольной материальной точки степень деформации в произвольный момент движения по ОПД можно записать как

$$\begin{aligned} e_i(t, R) &= -\int_b^R \frac{2\sqrt{3}}{3} \frac{\sqrt{R_T^2 + 3RR_T + 3R^2}}{R(R_T + R)} dR + e_{i0} = \\ &= \int_R^b \frac{2\sqrt{3}}{3} \frac{\sqrt{R_T^2 + 3RR_T + 3R^2}}{R(R_T + R)} dR + e_{i0}. \end{aligned}$$

Степень деформации после выхода из ОПД

$$e_i = \int_a^b \frac{2\sqrt{3}}{3} \frac{\sqrt{R_T^2 + 3RR_T + 3R^2}}{R(R_T + R)} dR + e_{i0}. \quad (7)$$

Напомним, что радиусы ОПД связаны соотношением  $a < b$ , поэтому значение интеграла положительно.

**Сравнение степеней деформации для разных моделей.** В [6, 7] для модели вытяжки из [2] была вычислена степень деформации  $e_i$ , приобретаемая частицей, входящей в ОПД по радиусу, расположенному под углом  $\varphi$  к вертикали (см. рис. 2), при прохождении ею всего ОПД:

$$e_{i, \text{fin}}(\varphi) = \frac{2}{\sqrt{3}} \frac{1}{\sqrt{1 - 3(M_1 - M\varphi)^2}} \ln\left(\frac{b}{a}\right) + e_{i0}(\varphi), \quad (8)$$

где  $M$  и  $M_1$  — коэффициенты, отражающие влияние трения по поверхностям матрицы и пуансона;  $e_{i0}(\varphi)$  — степень деформации, ранее (до вытяжки) накопленная частицей. Представляется полезным сравнить степени деформации, получаемые по формулам (7) и (8). Поскольку



формула (7) не учитывает трение, примем  $M = M_1 = 0$ . При этом зависимость  $e_{i, \text{fin}}(\varphi)$  от  $\varphi$  исчезает, и в предположении, что  $e_{i0}(\varphi) = 0$ , степень деформации  $e_{i, \text{fin}}(\varphi)$  принимает вид

$$e_{i, \text{fin}, 0}(\varphi) = \frac{2}{\sqrt{3}} \ln\left(\frac{b}{a}\right). \quad (9)$$

Формулы (7) (в предположении, что  $e_{i0} = 0$ ) и (9) должны давать одинаковые (близкие) результаты при  $R_T \rightarrow +\infty$  (т. е. когда предположение о плоском характере деформации из [2] полностью оправдано). Разложим подынтегральное выражение из (7) в ряд по  $R_T$  (при  $R_T \rightarrow +\infty$ ):

$$\frac{2\sqrt{3} \sqrt{R_T^2 + 3RR_T + 3R^2}}{3 R (R_T + R)} = \frac{2}{\sqrt{3}} \left( \frac{1}{R} + \frac{1}{2R_T} - \frac{R}{8R_T^2} - \dots \right). \quad (10)$$

Подставляя правую часть (10) под интеграл в (7) и вычисляя сам интеграл, получаем приближенное выражение для  $e_{i0}$ :

$$e_{i0} = \frac{2}{\sqrt{3}} \left( \ln\left(\frac{b}{a}\right) + \frac{(b-a)}{2R_T} - \frac{(b^2 - a^2)}{8R_T^2} - \dots \right),$$

т. е.  $e_{i0} - e_{i, \text{fin}, 0}(\varphi) \approx (b-a) / (\sqrt{3}R_T)$ . Таким образом, если радиальный размер ОПД, т. е.  $(b-a)$ , достаточно велик, а радиус  $R_T$  сравнительно мал, для оценки степени деформации  $e_i$  правильнее пользоваться формулой (7), а не (8).

Отметим, что если отказаться от предположения об отсутствии трения в (8), но сохранить предположение  $e_{i0}(\varphi) = 0$ , то, усредняя степень деформации (чтобы устранить влияние угла  $\varphi$ ) по формуле  $e_{i, \text{fin}} = \frac{1}{\alpha} \int_0^\alpha e_{i, \text{fin}}(\varphi) d\varphi$ ,

устанавливаем, что для всех значений коэффициентов трения  $0 \leq \mu \leq 0,4$ ,  $0 \leq \mu_1 \leq 0,4$  выполняется неравенство  $e_{i, \text{fin}, 0} \leq e_{i, \text{fin}} \leq 1,289e_{i, \text{fin}, 0}$ .

**Обоснование монотонного характера деформации при вытяжке с малыми углами.** Отметим, что (см. (4)) из-за равенства сдвиговых скоростей деформаций нулю линейные скорости деформаций являются главными компонентами тензора скорости деформаций, причем, очевидно, выполнены неравенства (так как  $C_1 < 0$  и  $R_T > 0$ ):

$$\xi_R > 0 > \xi_\theta > \xi_\varphi.$$

Тогда параметр Надаи — Лоде, характеризующий деформированное состояние, имеет вид

$$v = \frac{2\xi_2 - \xi_1 - \xi_3}{\xi_1 - \xi_3} = -\frac{3R}{2R_T + 3R} = -1 + \frac{2R_T}{3R + 2R_T}. \quad (11)$$

Оценим изменение параметра Надаи — Лоде при движении точки через ОПД. Как следует из формулы (11), параметр Надаи — Лоде при движении через ОПД возрастает (так как величина  $R$  уменьшается). Поэтому наименьшее его значение будет достигаться при входе точки в ОПД (при  $R = b$ ), а наибольшее — при выходе (при  $R = a$ ). Таким образом, изменение параметра Надаи — Лоде будет выражаться формулой

$$\Delta v = \frac{2R_T}{3a + 2R_T} - \frac{2R_T}{3b + 2R_T} = \frac{6R_T(b - a)}{(3b + 2R_T)(3a + 2R_T)}.$$

Из выражений для наружного  $b = (R_{H0} - R_T)/\sin \alpha$  и внутреннего  $a = (R_{H1} - R_T)/\sin \alpha$  радиусов ОПД (здесь  $R_{H0}$  — наружный радиус заготовки до вытяжки,  $R_{H1}$  — наружный радиус детали после вытяжки) и формулы (7) следует, что при одних и тех же величинах радиусов  $R_{H0}$ ,  $R_{H1}$ ,  $R_T$  степень деформации при разных углах конусности будет различной (в отличие от степени деформации, прогнозируемой формулой

$$e_i = \beta \ln \frac{R_{H1}^2 - R_T^2}{R_{H0}^2 - R_T^2} \quad [2, \text{ с. 279, формула 15.27}).$$

В [8] предложена мера отклонения  $d_M$  произвольного процесса деформации от монотонного в формулировке Смирнова-Аляева Г.А. [5, с. 44]:

$$d_M = \max \left( \frac{d_1}{\pi}, \frac{d_2}{2} \right),$$

где  $d_1 = \max_t \gamma(t)$  — мера нарушения коаксиальности тензоров деформации и скорости деформаций (мера нарушения первого условия монотонности), и  $d_2 = \max_t v(t) - \min_t v(t)$  — мера изменения вида деформации (мера нарушения второго условия монотонности). Для процесса вытяжки с утонением стенки через матрицу с малыми углами конусности из-за равенства всех сдвиговых деформаций нулю выполняется равенство  $d_1 = 0$ , поэтому

$$d_M = \frac{6R_T(b - a)}{(3b + 2R_T)(3a + 2R_T)}.$$

Вычисляя производную по  $R$  от подынтегрального выражения в (7), устанавливаем, что с ростом  $R$  оно убывает (чем больше  $R$ , тем скорость

убывания меньше). Поэтому для фиксированных значений внутреннего радиуса  $R_T$ , угла конусности  $\alpha$  и степени деформации  $e_i$ , определяемой по (7), при увеличении  $R_{н1}$  (что означает рост радиуса  $a$ ) величина  $R_{н0}$  всегда будет возрастать немного быстрее, чем  $R_{н1}$ .

Следовательно, для оценки сверху наибольшей разности между радиусами  $b$  и  $a$  достаточно рассмотреть более простую эквивалентную функцию для подинтегрального выражения при  $R \rightarrow \infty$  (чтобы было легко вычислить интеграл (7)). Поскольку

$$\frac{2\sqrt{3}}{3} \frac{\sqrt{R_T^2 + 3RR_T + 3R^2}}{R(R_T + R)} \underset{R \rightarrow \infty}{\sim} \frac{2}{R},$$

то из равенства  $e_i = 2 \ln \frac{b}{a}$  получаем  $b = \exp(e_i/2)a$ . Таким образом,  $\max(b - a) \leq (\exp(e_i/2) - 1)a$ .

Тогда имеем

$$d_M = \frac{6R_T(b - a)}{(3b + 2R_T)(3a + 2R_T)} \leq \frac{6R_T(\exp(e_i/2) - 1)a}{(3a + 3L + 2R_T)(3a + 2R_T)}, \quad (12)$$

где  $L$  — наименьшая возможная разность между радиусами  $b$  и  $a$  (она достигается при наименьшем возможном значении радиуса  $a$ ). Рассматривая правую часть (12) как функцию от  $a$ , вычисляя ее производную, находя точку максимума и вычисляя это максимальное значение правой части (12), получаем

$$\max_a \left( \frac{6R_T(\exp(e_i/2) - 1)a}{(3a + 3L + 2R_T)(3a + 2R_T)} \right) = \frac{\sqrt{2}(\exp(e_i/2) - 1)}{8}. \quad (13)$$

Даже при малом угле конусности матрицы степень деформации  $e_i$  может быть достаточно велика — для этого необходима матрица значительной высоты — будем все-таки считать, что  $e_i \leq 0,5$ . Тогда из (12) и (13) устанавливаем, что

$$d_M \leq \frac{\sqrt{2}(\exp(e_i/2) - 1)}{8} \leq 0,051.$$

Таким образом, процесс вытяжки с утонением стенки через матрицу с малым углом конусности на стадии, соответствующей образованию стенки, можно обоснованно считать монотонным.

Отметим, что при конкретных фиксированных значениях внутреннего радиуса  $R_T$ , угла конусности  $\alpha$  и степени деформации  $e_i$  величина  $d_M$

еще меньше — например, при  $R_T = 10$  мм,  $\alpha = 4^\circ$ ,  $e_i = 0,1$  в диапазоне  $11 \leq a \leq 55$  мм наибольшее значение величины  $d_m$  не превышает 0,011, а для латунной гильзы [9, с. 210] 12,7 мм в нижней части корпуса толщина стенки  $S^H = 1,6$  мм, внутренний диаметр  $D^H = 22$  мм (т. е.  $R_T = 11$  мм), поэтому, полагая степень деформации на последней вытяжке равной 10 %, находим примерные величины внутреннего ( $a \approx 22,9$  мм) и наружного ( $b \approx 23,53$  мм) радиусов ОПД для угла конусности  $4^\circ$  и величину  $d_m = 0,005$  (если вместо (7) искать  $b$  по формуле  $e_i = \beta \ln \frac{R_{H1}^2 - R_T^2}{R_{H0}^2 - R_T^2}$ , то получается  $b \approx 24,9$  мм и  $d_m = 0,014$ ).

Отметим, что изначальное предположение  $v_R = v_R(R, \varphi)$  вместо рассмотренного  $v_R = v_R(R)$  приводит вследствие условия несжимаемости к представлению  $v_R = \frac{F_1(\varphi)}{R(R_T + R)}$ , но из уравнений равновесия следует, что  $F_1(\varphi) = C_1$ , таким образом в целом решение не изменяется.

Из близости (11) параметра Надаи — Лоде к минус единице следует, что вид скорости деформации близок к простому растяжению [5, с. 43], в отличие от состояния сдвига в случае вытяжки заготовки, внутренний радиус которой настолько велик, что задачу можно считать плоской [2]. Это можно объяснить следующим образом: подобно тому, как при вытяжке с прижимом из листовой заготовки силы трения, вызванные действием прижима, сосредоточены у краевой части фланца [10, с. 103], при вытяжке с утонением стенки через матрицу с малым углом конусности силы трения будут сосредоточены у верхней части ОПД, что и приведет к возникновению растягивающих деформаций в большей части ОПД.

Возможно также, что для вытяжки с малым углом конусности ошибочно пренебрегать упругими деформациями, а поэтому правильнее применять теорию малых упругопластических деформаций, а не теорию течения.

Также может быть неверным предположение о форме ОПД.

**Выводы.** 1. При отказе от предположения считать деформированное состояние плоским вычислены НДС и степень деформации стенки изделия при вытяжке с утонением стенки через матрицу с малым углом конусности  $\alpha = 2^\circ \dots 4^\circ$ .

2. Показано, что при малом угле конусности процесс вытяжки с утонением стенки на стадии, соответствующей формированию стенки полуфабриката (см. рис. 1, в), можно обоснованно считать монотонным.

## ЛИТЕРАТУРА

- [1] Агеев Н.П., Затеруха Е.В. Исследование неравномерности распределения степени деформации и механических свойств по сечению полых деталей, штампуемых способами вытяжки с утонением. *Металлообработка*, 2014, № 3, с. 36–42.
- [2] Воронцов А.Л. Теория и расчеты процессов обработки металлов давлением. Т. 2. М., Изд-во МГТУ им. Н.Э. Баумана, 2014.
- [3] Агеев Н.П., Данилин Г.А., Огородников В.П. Технология производства патронов стрелкового оружия. Ч. II. Процессы штамповки. СПб., Балт. гос. техн. ун-т, 2007.
- [4] Новожилов В.В. Теория упругости. Л., Судпромгиз, 1958.
- [5] Смирнов-Аляев Г.А. Сопротивление материалов пластическому деформированию. Л., Машиностроение, 1978.
- [6] Винник П.М., Иванов К.М., Данилин Г.А. и др. Прогнозирование механических свойств детали, полученной вытяжкой с утонением. *Металлообработка*, 2015, № 4, с. 31–36.
- [7] Винник П.М., Иванов К.М., Данилин Г.А. и др. Экспериментально-аналитическая оценка неравномерности механических характеристик штампуемых деталей. *Кузнечно-штамповочное производство. Обработка материалов давлением*, 2015, № 11, с. 27–32.
- [8] Винник П.М., Иванов К.М. Процессы сложного нагружения в технологических задачах. *Известия высших учебных заведений. Машиностроение*, 2016, № 6, с. 62–72. DOI: 10.18698/0536-1044-2016-6-62-72
- [9] Данилин Г.А., Огородников В.П., Заволокин А.Б. Основы проектирования патронов к стрелковому оружию. СПб., Балт. гос. техн. ун-т, 2017.
- [10] Попов Е.А., Ковалев В.Г., Шубин И.Н. Технология и автоматизация листовой штамповки. М., Изд-во МГТУ им. Н.Э. Баумана, 2000.

**Винник Петр Михайлович** — канд. физ.-мат. наук, заведующий кафедрой «Высшая математика» БГТУ «ВОЕНМЕХ» им. Д.Ф. Устинова (Российская Федерация, 190005, Санкт-Петербург, 1-я Красноармейская ул., д. 1).

**Ремшев Евгений Юрьевич** — канд. техн. наук, доцент кафедры «Высокоэнергетические устройства автоматических систем» БГТУ «ВОЕНМЕХ» им. Д.Ф. Устинова (Российская Федерация, 190005, Санкт-Петербург, 1-я Красноармейская ул., д. 1).

**Затеруха Екатерина Владимировна** — канд. техн. наук, доцент кафедры «Высокоэнергетические устройства автоматических систем» БГТУ «ВОЕНМЕХ» им. Д.Ф. Устинова (Российская Федерация, 190005, Санкт-Петербург, 1-я Красноармейская ул., д. 1).

**Филин Дмитрий Сергеевич** — канд. техн. наук, доцент кафедры «Высоко-энергетические устройства автоматических систем» БГТУ «ВОЕНМЕХ» им. Д.Ф. Устинова (Российская Федерация, 190005, Санкт-Петербург, 1-я Красно-армейская ул., д. 1).

**Просьба ссылаться на эту статью следующим образом:**

Винник П.М., Ремшев Е.Ю., Затеруха Е.В. и др. Расчет напряженно-деформированного состояния заготовки при вытяжке с утонением стенки через матрицу с малым углом конусности. *Вестник МГТУ им. Н.Э. Баумана. Сер. Машиностроение*, 2019, № 4, с. 71–86. DOI: 10.18698/0236-3941-2019-4-71-86

**COMPUTING STRESS-STRAIN STATE OF A WORKPIECE DURING DRAWING WITH WALL THINNING THROUGH A DIE WITH A SMALL TAPER ANGLE**

**P.M. Vinnik**

sigure@rambler.ru

**E.Yu. Remshev**

remshev@mail.ru

**E.V. Zaterukha**

bgtu\_e4@mail.ru

**D.S. Filin**

bgtu\_e4@mail.ru

**BSTU “VOENMEH” named after D.F. Ustinov, St. Petersburg, Russian Federation**

---

**Abstract**

The paper considers computing the stress-strain state of a workpiece during drawing with wall thinning through a die with a small taper angle. A manufacturing process for a sleeve usually includes several drawing operations, whereas recommendations for the final drawing operation are a low extent of deformation and using dies with a small taper angle of ( $2^\circ$ – $4^\circ$ ). We present a diagram for drawing with wall thinning, delineating all deformation stages recorded on the chart showing force as a function of tool path. We computed the stress-strain state and deformation in the workpiece wall during the final operation of drawing through a die with a small taper angle  $\alpha \leq 4^\circ$ . We provide equilibrium equations in toroidal coordinates and compute stress-strain state parameters and extents of deformation for the axisymmetric problem statement. No longer assuming a plane strain state, we compute the stress-strain state and extent of deformation in the workpiece wall during drawing with wall thinning through a die with a small taper angle  $\alpha = 2^\circ$ – $4^\circ$ . We show that at the stage when

**Keywords**

*Drawing with wall thinning, stress-strain state, deformation, die with a small taper angle, monotone process*

intermediate product walls are formed, for a small  
taper angle it is reasonable to consider the process of  
drawing with wall thinning to be monotone

Received 10.05.2018

© Author(s), 2019

---

## REFERENCES

- [1] Ageev N.P., Zaterukha E.V. Uneven distribution of research degree of deformation and mechanical properties across the hollow parts, stamped drawing method with thinning. *Metalloobrabotka*, 2014, no. 3, pp. 36–42 (in Russ.).
- [2] Vorontsov A.L. *Teoriya i raschety protsessov obrabotki metallov davleniem*. T. 2 [Theory and calculations of metal forming processes. Vol. 2]. Moscow, Bauman MSTU Publ., 2014.
- [3] Ageev N.P., Danilin G.A., Ogorodnikov V.P. *Tekhnologiya proizvodstva patronov strelkovogo oruzhiya*. Ch. II. Protsessy shtampovki [Production technology for small arms ammunition. Textbook. P. II. Stamping processes]. St. Petersburg, Balt. gos. tekhn. un-t Publ., 2007.
- [4] Novozhilov V.V. *Teoriya uprugosti* [Elasticity theory]. Leningrad, Sudpromgiz Publ., 1958.
- [5] Smirnov-Alyayev G.A. *Soprotivlenie materialov plasticheskomu deformirovaniyu* [Resistance of materials to plastic deformation]. Leningrad, Mashinostroenie Publ., 1978.
- [6] Vinnik P.M., Ivanov K.M., Danilin G.A., et al. Prediction of mechanical properties of the details produced by drawing with wall thinning. *Metalloobrabotka*, 2015, no. 4, pp. 31–36 (in Russ.).
- [7] Vinnik P.M., Ivanov K.M., Danilin G.A., et al. Experimental and analytical evaluation of irregularity of mechanical characteristics of stamped parts. *Kuznechno-shtampovnochnoe proizvodstvo. Obrabotka materialov davleniem* [Forging and Stamping Production. Material Working by Pressure], 2015, no. 11, pp. 27–32 (in Russ.).
- [8] Vinnik P.M., Ivanov K.M. Combined loading processes in technological problems. *Izvestiya vysshikh uchebnykh zavedeniy. Mashinostroenie* [Proceedings of Higher Educational Institutions. Machine Building], 2016, no. 6, pp. 62–72 (in Russ.).  
DOI: 10.18698/0536-1044-2016-6-62-72
- [9] Danilin G.A., Ogorodnikov V.P., Zavolokin A.B. *Osnovy proektirovaniya patronov k strelkovomu oruzhiyu* [Basics of designing cartridges for small arms]. St. Petersburg, Balt. gos. tekhn. un-t. Publ., 2017.
- [10] Popov E.A., Kovalev V.G., Shubin I.N. *Tekhnologiya i avtomatizatsiya listovoy shtampovki* [Technology and automation of sheet punching]. Moscow, Bauman MSTU Publ., 2000.

**Vinnik P.M.** — Cand. Sc. (Phys.-Math.), Head of Department of Higher Mathematics, BSTU “VOENMEH” named after D.F. Ustinov (1-ya Krasnoarmeyskaya ul. 1, St. Petersburg, 190005 Russian Federation).

**Remshv E.Yu.** — Cand. Sc. (Eng.), Assoc. Professor, Department of High-Energy Devices in Automated Systems, BSTU “VOENMEH” named after D.F. Ustinov (1-ya Krasnoarmeyskaya ul. 1, St. Petersburg, 190005 Russian Federation).

**Zaterukha E.V.** — Cand. Sc. (Eng.), Assoc. Professor, Department of High-Energy Devices in Automated Systems, BSTU “VOENMEH” named after D.F. Ustinov (1-ya Krasnoarmeyskaya ul. 1, St. Petersburg, 190005 Russian Federation).

**Filin D.S.** — Cand. Sc. (Eng.), Assoc. Professor, Department of High-Energy Devices in Automated Systems, BSTU “VOENMEH” named after D.F. Ustinov (1-ya Krasnoarmeyskaya ul. 1, St. Petersburg, 190005 Russian Federation).

**Please cite this article in English as:**

Vinnik P.M., Remshv E.Yu., Zaterukha E.V., et al. Computing stress-strain state of a workpiece during drawing with wall thinning through a die with a small taper angle. *Herald of the Bauman Moscow State Technical University, Series Mechanical Engineering*, 2019, no. 4, pp. 71–86 (in Russ.).

DOI: 10.18698/0236-3941-2019-4-71-86